

کیست استفنه دو کانونی پاروتید- گزارش مورد

- دکتر سید حسین حسینی زارچ^۱ دکتر آدینه جوادیان لنگرودی^۲ دکتر حامد ابراهیم نژاد^۳ دکتر مریم رجبی^۴ دکتر سعیده ابراهیمی^۵
- ۱- دانشیار بخش رادیولوژی دهان، فک و صورت دانشکده دندانپزشکی دانشگاه علوم پزشکی مشهد
 - ۲- استادیار بخش رادیولوژی دهان، فک و صورت دانشکده دندانپزشکی دانشگاه علوم پزشکی مشهد
 - ۳- متخصص رادیولوژی دهان، فک و صورت دانشکده دندانپزشکی دانشگاه علوم پزشکی مشهد
 - ۴- دستیار تخصصی گروه رادیولوژی دهان، فک و صورت دانشکده دندانپزشکی دانشگاه علوم پزشکی مشهد

خلاصه:

سابقه و هدف: نقص استخوانی استفنه یافته ای نادر و فاقد علامت در تصاویر رادیوگرافی می باشد. کیست استفنه مربوط به غده برازی پاروتید یافته بسیار نادری است که می تواند در سمت باکال یا لینگوال راموس واقع شود.

گزارش مورد: در کلیشه پانورامیک یک مرد ۳۷ ساله بطور تصادفی دو رادیولومنسی با حدود مشخص در بالای زاویه فک تحتانی و ابتدای راموس سعودی سمت چپ کشف شد. در تصاویر اگزیال و کرونال CBCT پلیت کورتیکال باکال پرفوره شده و این دو نقص استخوانی بیش از نیمی از ضخامت استخوان را درگیر کرده بودند. بر مبنای نمای رادیوگرافیک و عدم تغییر سایز ضایعه در فالوآپ های ۶ ماهه و یکساله، ضایعه نقص استخوانی استفنه تشخیص داده شد.

نتیجه گیری: نماهای ناشایع نقص استخوانی استفنه، بویژه انواع مرتبط با پاروتید، بایستی مد نظر رادیولوژیست قرار گیرد تا از تفسیر اشتباه جلوگیری شود.

کلید واژه‌ها: غده پاروتید، کیست استخوانی، توموگرافی کامپیوتراوی با اشعه مخروطی

وصول مقاله: ۹۵/۲/۲۱ اصلاح نهایی: ۹۵/۴/۲۷ پذیرش مقاله: ۹۵/۴/۲۹

مقدمه:

در صورتی که علائمی نظیر درد این نما را همراهی کند، ضایعات دیگری نظیر آدنوم های غدد برازی بایستی مد نظر قرار گیرد.^(۱) سایر ضایعاتی که می توانند در تشخیص افتراقی با SBD قرار بگیرند عبارتند از: آملوبلاستوما، کراتوسیستیک اندتوژنیک تومور، کیست استخوانی تروماتیک، کیست آنوریسمال استخوانی، اوزینوفیلیک گرانولوما، ژانت سل گرانولومای مرکزی و تومورهای متاستاتیک.^(۲)

بر مبنای جایگاه و منشا، چهار نوع SBD تا کنون شناسایی شده است که شایع ترین آنها در سمت لینگوال خلف مندیبل، بین زاویه فک تحتانی و اولین مولر دائمی در زیر کانال آلوئولار تحتانی دیده شده است. (نوع لینگوال خلفی یا LP). نوع لینگوال قدامی (LA) در بین دندانهای انسیزور و پرمولر

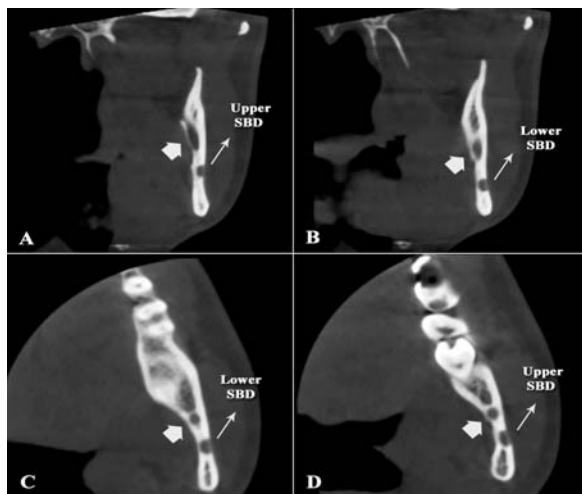
نقص استخوانی استفنه (SBD) عمدتاً یافته ای نادر، تصادفی و فاقد علامت در تصاویر رادیوگرافی می باشد. نام های متعددی برای این نقص ذکر شده که از آن جمله می توان به Stafne lingual mandibular bone defect، bone cyst lingual idiopathic bone cavity، bone cavity aberrant or ectopic mandibular bone depression latent bone cyst salivary gland defect embryonic mandible و developmental bone defect defect اشاره کرد.^(۳)

نمای رادیوگرافیک SBD اغلب به شکل یک رادیولومنسی یکطرفة با حدود مشخص در خلف مندیبل زیر کانال عصب آلوئولار تحتانی می باشد. موارد چند حجره ای یا چند کانونی این ضایعه نادر می باشند.^(۴)

اين دو راديولوسنسي در زير کanal عصب آلوئولار تحتاني قرار داشته و تاثيري بر روی کanal و مسیر آن نداشتند. بيمار به جز مشكلات دنداني فاقد عالم ديجري بوده و در برسی تاريخچه پزشكى وي يافته قابل ملاحظه اي دیده نشد.

در برسی خارج دهاني و داخل دهاني، در ناحيه مورد نظر يافته پاتولوژيک مشاهده نگردید.

به منظور ارزيايي دقيق تر و رد تشخيص هايی نظير ضایعات خوشخييم فكين، پس از توضيحات و کسب رضایت آگاهانه مكتوب از بيمار، تصاوير CBCT توسط دستگاه Promax (Planmeca, Helsinki, Finland) 3D از وي بدست آمد (در تصاوير اگزیال و کرونال CBCT دو راديولوسنسي گرد در سمت باکال ابتدائي راموس صعودي سمت چپ دیده شد). پليت کورتيکال باکال پرفوره شده و اين دو نقص استخوانی بيش از نيمی از ضخامت استخوان را درگير کرده بودند. تورم استخوانی مشاهده نشد (اشکال ۲ و ۳).



شكل ۲- تصاوير کرونال (A و B) و اگزیال (C و D) و اگزیال (C و D) و اگزیال (A و B) نشان دهنده نقایص استخوانی استفنه (SBD) در سمت باکال راموس می باشد. کanal عصب آلوئولار تحتاني با فلش کوتاه تر مشخص شده است.

منديبل قرار گرفته و 7 مرتبه شيوع کمتری نسبت به نوع LP دارد. انواعی از SBD که مربوط به غده پاروتید بوده و در سمت لينگوال راموس منديبل (LR) یا باکال آن (BR) واقع شده اند، بسيار نادر می باشند.^(۴,۵) SBD های با نمای ناشایع می توانند راديولوزیست را در تشخیص صحیح دچار مشکل کنند. تکنیک های تصویربرداری پیشرفته نظیر سی تی اسکن، توموگرافی با اشعه مخروطی (CBCT) و MRI می توانند در این زمینه کمک کننده باشند. CBCT با دوز رادیاسیون پایینتر و رزلوشن فضایی بالاتر نسبت به سی تی اسکن مولتی اسلایس مدلایته تصویربرداری معتبر و دقیقی در این حوزه محسوب می شود. MRI با توانایی نشان دادن بافت نرم بدون تشبعات اشعه ایکس روش تصویربرداری ایده آلی به نظر می رسد. هرچند که هزینه بالا، نمایش کمتر جزئیات استخوانی و پرسه تصویربرداری طولانی می تواند از معایب MRI در این زمینه به شمار آید.^(۶,۷,۸)

هدف از اين گزارش، ارائه يك مورد بسيار نادر کيس استفنه پاروتید دوکانوني می باشد که در سمت باکال ابتدائي راموس صعودي واقع شده است.

يک مرد ۳۷ ساله به دنبال درمان دندان های پوسیده خود جهت انجام راديوجرافی پانوراميک به مرکز تصویربرداری دانشکده دندانپزشکی علوم پزشكی مشهد ارجاع داده شد.

در کلیشه پانوراميک وي دو راديولوسنسي با حدود مشخص به ابعاد حدود 2×2 سانتيمتر در بالاي زاويه فک تحتاني و ابتدائي راموس صعودي سمت چپ، بصورت تصادفي کشف شد (شکل ۱).



شکل ۱- راديوجرافی پانوراميک دو ضایع شبه کيس استفنه دو کانوني پاروتيد با حدود مشخص را در بالاي ناحيه زاويه منديبل سمت چپ نشان می دهد.

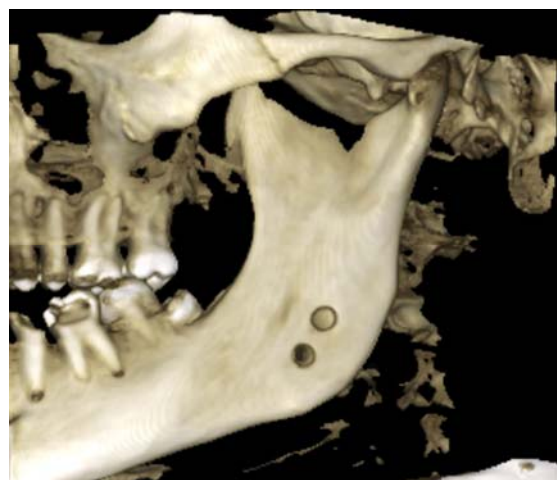
ها در سین بالا و دیره‌نگام تشخیص داده می‌شوند. چرا که بدلیل عدم وجود فرآیند پاتولوژیک در سیر SBD، زمان زیادی لازم است تا تخریب استخوان صورت گرفته نمای واضحی را در رادیوگرافی ایجاد نماید.^(۶)

اتیولوژی و پاتوزن SBD کاملاً روشن نیست. نقایص استخوانی استفنه به لحاظ آناتومیک وابسته به غدد بزاقی بوده و در بسیاری از موارد فاقد ساختار درونی هستند. گاها بخش هایی از غده بزاقی، بافت چربی، بافت همبند یا لنفاوی، بافت عضلانی یا عروق خونی در درون این نقایص یافت شده است.^(۱,۴)

Philipsen و همکارانش در یک مطالعه گسترده به این نتیجه رسیدند که فشار غده بزاقی بر روی سطح استخوان مجاور خود عامل ایجاد کننده SBD می‌باشد.^(۶) نادر بودن SBD های پاروتید به این علت است که غده پاروتید در مجاورت فضای پارافارنجیال واقع شده و در موارد هیپرتروفی یا هیپرپلازی اغلب فشار حاصله به سمت این فضا هدایت می‌شود و ندرتاً اتفاق می‌افتد که فشار بافت غددی بتواند منجر به ایجاد نقص در سطح استخوان شود.^(۹, ۱۰)

طبق نظریه Campos و همکارانش، در مواردی که ارتباطی بین سطح استخوان و غده بزاقی وجود ندارد، می‌توان شکل گیری SBD را با در نظر گرفتن منشا تکاملی یا مادرزادی توجیه کرد. این نقص ممکن است در مراحل استخوان سازی داخل غشایی مندیبل شکل گرفته باشد. از این رو نبایستی همواره نقایص استفنه را کاملاً وابسته به غدد بزاقی بدانیم.^(۱۱)

اما بررسی اغلب مطالعات نشان می‌دهد که نظریه "Glandular theory" تا امروز مورد قبول ترین توجیه، برای شکل گیری نقایص استخوانی استفنه به شمار می‌رود. بر اساس این تئوری، همه انواع SBD شامل LP, LA, LR و BR منشا مشترکی دارند که آن فشار لوب هیپرپلاستیک/هیپرتروفیک غده پاروتید، ساب مندیبولر یا ساب لینگوال بر روی سطح استخوان مجاور خود می‌باشد. این فشار منجر به آتروفی و تحلیل موضعی استخوان در محل می‌گردد. با افزایش سن، غدد بزاقی اصلی- بویژه غده ساب مندیبولر دچار ارت翔 سلولهای آماسی شده که منجر به درجات مختلف



شکل ۳- تصویر سه بعدی CBCT نقص استخوانی را در راموس چپ نمایش می‌دهد.

بر مبنای یافته های بالینی و رادیولوژیک، تشخیص کیست استفنه پاروتید تایید و جهت اطمینان برای بیمار جلسات فالوآپ تنظیم شد. تغییری در سایز ضایعه در فالوآپ های ۶ ماهه و یکساله مشاهده نگردید.

بحث و نتیجه گیری:

نقص استخوانی استفنه مربوط به غده پاروتید یافته نادری می‌باشد که در سمت باکال یا لینگوال راموس قرار دارد. عمدتاً این نوع نقایص استفنه نسبت به انواع لینگوال خلفی یا قدامی (LA و LP) سایز کوچکتری داشته و به لحاظ مورفولوژی شکل گرددتری دارند. طیف سنی بیماران کاملاً وسیع بوده و از ۱۱ تا ۸۷ سال را شامل می‌شود؛ هرچند که بیشترین میزان بروز در دهه پنجم و شش مشاهده شده است. عمدتاً SBD در مردان بیشتر یافت می‌شود.^(۲) گمان می‌رود که بروز نقص استخوانی استفنه وابسته به سیر بلوغ و تکامل ساختاری غدد بزاقی باشد. از آنجایی که آندروزنها نقش مهمی در تکامل اجزای غدد بزاقی دارند، این احتمال وجود دارد که جنسیت در میزان بروز SBD تاثیر داشته باشد. از آنجا که برای دیده شدن یک نقص استخوانی در تصاویر رادیوگرافی نیاز به از بین رفتن درصد قابل توجهی از حجم استخوان می‌باشد، معمولاً SBD

References:

- 1-Ozaki H, Ishikawa S, Kitabatake K, Yusa K, Tachibana H, Iino M. A Case of Simultaneous Unilateral Anterior and Posterior Stafne Bone Defects. *Case Rep Dent* 2015;29.
- 2-Quesada-Gomez C, Valmaseda-Castellon E, Berini-Aytes L, Gay-Escoda C. Stafne bone cavity: a retrospective study of 11 cases. *Med Oral Patol Oral Cir Bucal* 2006;11(3): 277-80.
- 3-Stafne EC. Bone cavities situated near the angle of the mandible. *J Am Dent Assoc* 1942;29:1969-72.
- 4-Kaya M, Ugur KS, Dagli E, Kurtaran H, Gunduz M. Stafne bone cavity containing ectopic parotid gland. *Braz J Otorhinolaryngol* 2016;14.
- 5-Schneider T, Filo K, Locher MC, Gander T, Metzler P, Gratz KW, et al. Stafne bone cavities: systematic algorithm for diagnosis derived from retrospective data over a 5-year period. *Br J Oral Maxillofac Surg* 2014;52:369-74.
- 6-Philipsen HP, Takata T, Reichart PA, Sato S, Suei Y. Lingual and buccal mandibular bone depressions: a review based on 583 cases from a world-wide literature survey, including 69 new cases from Japan. *Dentomaxillofacial Radiol* 2002;31(5):281-90.
- 7-Etoz M, Etoz OA, Sahman H, Sekerci AE, Polat HB. An unusual case of multilocular Stafne bone cavity. *Dentomaxillofacial Radiol* 2012;41(1):75-8.
- 8-Sisman Y1, Miloglu O, Sekerci AE, Yilmaz AB, Demirtas O, Tokmak TT. Radiographic evaluation on prevalence of Stafne bone defect: a study from two centres in Turkey. *Dentomaxillofacial Radiol* 2012;41(2):152-8.
- 9-Miloglu Ö, Sekerci AE, Yasa Y, Dagistan S. Unilateral Bone Cavities Situated Near the Angle of the Mandibula. *J Craniofac Surg* 2015;26(1): 27-8.
- 10-Venkatesh E. Stafne bone cavity and cone-beam computed tomography: a report of two casesJ Korean Assoc Oral Maxillofac Surg 2015;41(3):145-8.
- 11-Campos PS, Panella J, Crusoé-Rebello IM, Azevedo RA, Pena N, Cunha T. Mandibular ramus-related Stafne's bone cavity. *Dentomaxillofac Radiol* 2004;33(1):63-6.
- 12-More CB, Das S, Gupta S, Patel P, Saha N. Stafne's Bone Cavity: A Diagnostic Challenge. *Journal of clinical and diagnostic research: J Clin Diagn Res* 2015;9(11): 16-9

فیبروز، هیپرپلازی و یا هیپرتروفی غده می گردد. این فرآیند به مرور بافت نرم غده را به یک توده فیبروز تبدیل کرده که می تواند قدرت کافی برای ایجاد تحلیل استخوان زیرین خود داشته باشد.^(۶)

از آنجایی که اندازه نقص استخوانی استفنه به ندرت تغییر می کند (static lesion) تحت نظر داشتن و فالوآپ تنها راهکار درمانی پیشنهادی است. هرچند که در موارد مشکوک می توان از مداخله جراحی و معاینات هیستوپاتولوژیک جهت نیل به تشخیص صحیح بهره جست.^(۱, ۱۲)